



# Indicadores de productividad de la minería del cobre en Chile al 2020

---

DE 30/2021

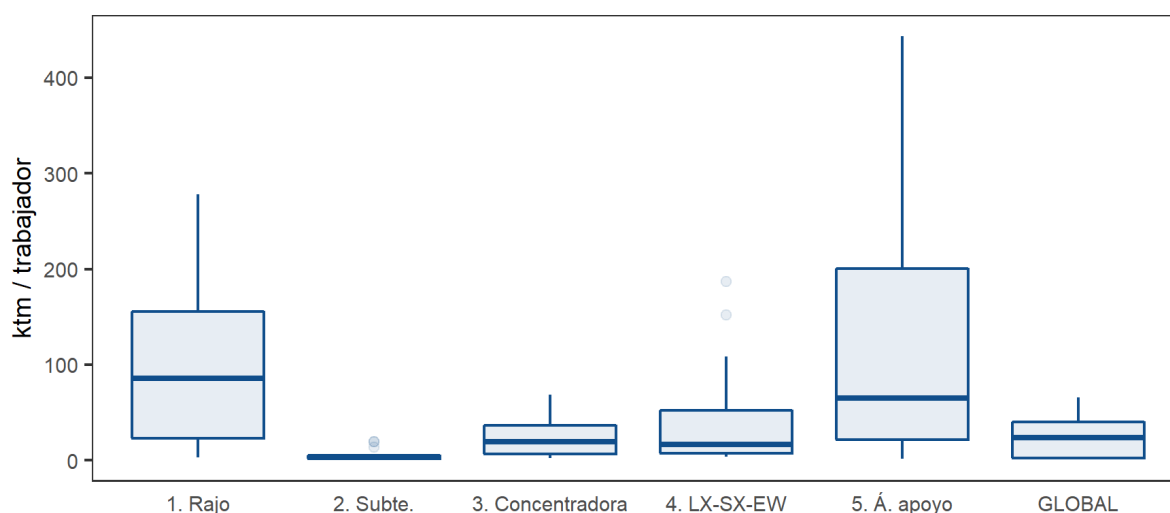
## Resumen ejecutivo

Desde el año 2018 y de acuerdo con las recomendaciones de la Comisión Nacional de Productividad (2017), COCHILCO ha desarrollado una línea de trabajo para el monitoreo periódico de indicadores de productividad en la industria minera nacional. Específicamente, este reporte está enfocado en el levantamiento de indicadores de productividad parcial del trabajo y productividad parcial del capital, y en la medición de la Productividad Total de Factores (PTF) en la industria.

A través del sondeo anual que COCHILCO lleva a cabo mediante su Encuesta Minera de Producción, Agua y Energía – EMPAE, se solicitan los antecedentes necesarios para calcular los indicadores de productividad mencionados. En conjunto, las empresas consultadas en la EMPAE 2021 consideradas en la muestra constituyen el 99,9% de la producción nacional de cobre en el año 2020.

En la Figura 1 se presenta un resumen de los indicadores de productividad parcial del trabajo obtenidos, medidos como la razón entre el material movido/procesado/apilado, según el área analizada, y la dotación permanente de trabajadores (que incluye trabajadores propios y externos), en el año 2020.

**Figura 1:** Resumen de indicadores de productividad laboral, año 2020.



Fuente: COCHILCO con base en EMPAE 2021.

De los resultados, se puede destacar que:

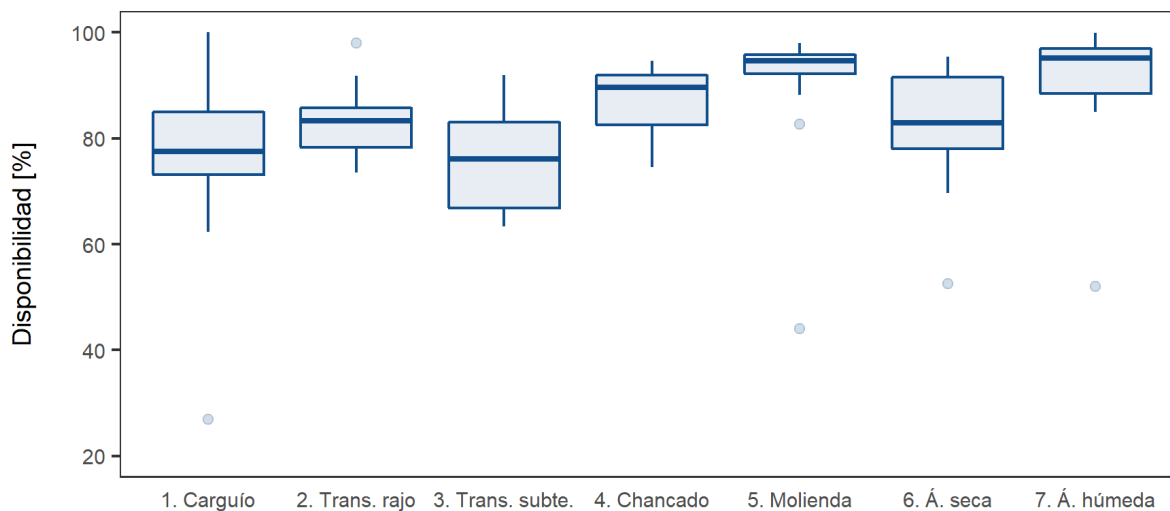


- Existe una dispersión significativa de la productividad laboral en cada área analizada, principalmente en rajo y en áreas de apoyo, mostrando amplias brechas entre los valores máximos y mínimos.
- En términos generales, las faenas de la mediana minería tienen productividades laborales menores en comparación con los indicadores de la gran minería.
- En el global, la productividad laboral promedio prácticamente se mantuvo respecto del año 2019, mostrando una fuerte alza en mina rajo pero con una caída en planta concentradora.

La Figura 2 y Figura 3 presentan un resumen de los indicadores de disponibilidad y utilización levantados. De los resultados obtenidos se puede indicar lo siguiente:

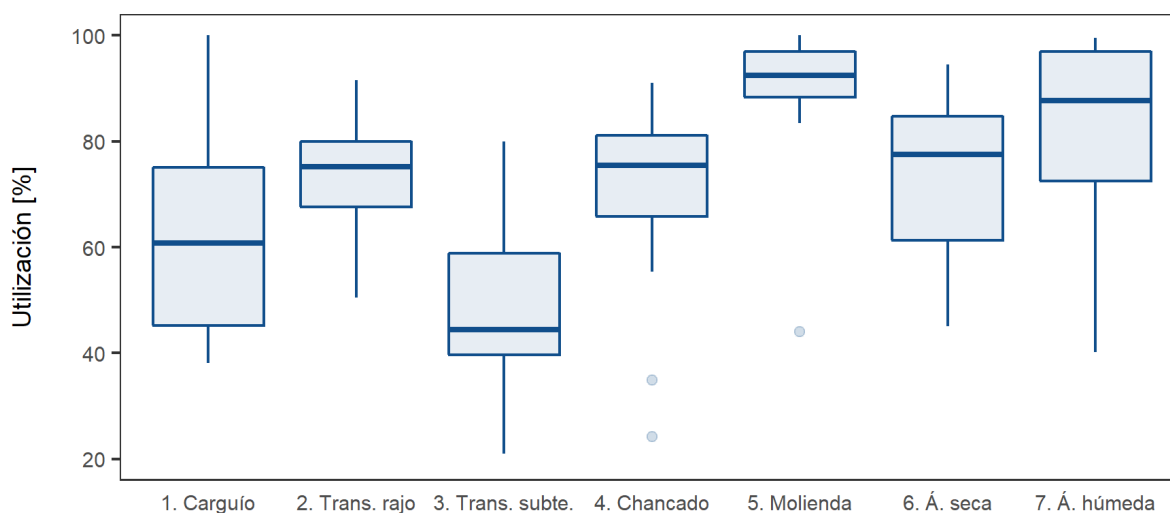
- Los procesos unitarios que presentan los mayores indicadores de disponibilidad y utilización promedio son molienda en planta concentradora y área húmeda en planta hidrometalúrgica. Esto va en línea con la naturaleza continua de estos procesos.
- Carguío en mina rajo y carguío y transporte en mina subterránea presentan los menores niveles promedio de disponibilidad.
- En cuanto a utilización, son los mismos procesos de carguío en mina rajo y carguío y transporte en mina subterránea los que muestran los peores desempeños. El funcionamiento discontinuo de estos procesos, además de las interferencias con equipos auxiliares en el caso del proceso de carguío, explicarían parte de las detenciones y mayores requerimientos de mantenimiento que tienen un impacto negativo en el uso eficiente de estos activos.
- En general, los indicadores de utilización presentan una mayor dispersión y valores promedio más bajos los de disponibilidad, para cada proceso analizado.
- No se observan tendencias claras relacionadas con la escala de las operaciones (gran minería vs. mediana minería).
- A pesar de la desmovilización que existió el año 2020 producto de la pandemia, las operaciones mineras consideradas en la muestra demostraron una buena capacidad de respuesta, manteniendo niveles similares de productividad en sus activos, respecto del año 2019, particularmente en los procesos unitarios continuos. Sí se observa un impacto, aunque leve, en los procesos de carguío y transporte.

**Figura 2:** Resumen de indicadores de disponibilidad, año 2020.



Fuente: COCHILCO con base en EMPAE 2021.

**Figura 3:** Resumen de indicadores de utilización, año 2020.



Fuente: COCHILCO con base en EMPAE 2021.

Por último, respecto a los resultados del cálculo de la Productividad Total de Factores de la industria minera del cobre, resultan relevantes dos puntos:

- Durante el periodo analizado se observa una caída cercana a los 20 puntos porcentuales en la productividad de la industria.
- Desde el año 2009 a la fecha, se ha mantenido relativamente estable la productividad (medido a través de la PTF). Los últimos 4 años, 2016-2020, se muestra una tendencia al alza con una tasa promedio de 4,3%, en especial el último año en que hubo un alza de 9,5%.

**Figura 4:** Evolución de la PTF en la muestra seleccionada, periodo 2004-2020.

Fuente: COCHILCO con base en EMPAE 2021.



## Contenidos

1	Introducción	1
2	Productividad parcial del trabajo	3
2.1	Metodología . . . . .	3
2.2	Muestra . . . . .	4
2.3	Resultados . . . . .	4
2.3.1	Mina rajo . . . . .	4
2.3.2	Mina subterránea . . . . .	5
2.3.3	Planta concentradora . . . . .	6
2.3.4	Planta hidrometalúrgica . . . . .	7
2.3.5	Áreas de apoyo . . . . .	8
2.3.6	Global . . . . .	9
2.3.7	Resumen de resultados . . . . .	10
3	Productividad parcial del capital	11
3.1	Metodología . . . . .	11
3.2	Muestra . . . . .	13
3.3	Resultados . . . . .	13
3.3.1	Mina rajo - Carguío . . . . .	13
3.3.2	Mina rajo - Transporte . . . . .	14
3.3.3	Mina subterránea Carguío y transporte . . . . .	15
3.3.4	Mina - Chancado . . . . .	16
3.3.5	Planta concentradora Molienda . . . . .	17
3.3.6	Planta hidrometalúrgica Área seca . . . . .	18
3.3.7	Planta hidrometalúrgica Área húmeda . . . . .	19
3.3.8	Resumen de resultados . . . . .	20
4	Productividad total de factores	23
4.1	Metodología . . . . .	24
4.2	Muestra . . . . .	25
4.3	Resultados . . . . .	27
5	Comentarios nacionales	30
6	Anexos	32
7	Referencias	34

## 1 Introducción

La minería del cobre ha sido históricamente un actor fundamental en la economía y desarrollo de Chile, esto puede ser visto tanto por su contribución al Producto Interno Bruto (PIB), como por su aporte a los ingresos scales, exportaciones, empleo e inversión. Sin embargo, la continuidad de este aporte depende en gran medida de la rentabilidad operacional de las empresas del sector, principalmente de la diferencia entre el precio del cobre y sus costos de producción. Por esta razón es que resulta crucial para las compañías mineras, y para el país en su conjunto, realizar esfuerzos por controlar y mejorar la productividad de la industria, y en consecuencia, sus costos.

Si bien factores naturales como la disminución en las leyes de mineral y la creciente profundización de los depósitos tienen un efecto negativo sobre la productividad, diversos estudios han estimado que, incluso corrigiendo por estos factores, la productividad de la industria ha disminuido considerablemente en parte importante de las últimas décadas. A través del cálculo de la Productividad Total de Factores (PTF) y corrigiendo por factores geológicos (ley de cobre y razón estéril mineral), COCHILCO (2014) estimó una caída promedio de 1,6% anual en la productividad de la industria durante el periodo 2000 - 2013 (2,8% anual en el periodo 2004 - 2013). Siguiendo una metodología similar, en Comisión Nacional de Productividad (2017) se estimó una disminución de 1% anual de la PTF, en el periodo 2000 - 2014.

Dada la importancia de estudiar esta situación, el objetivo de este informe es dar continuidad al levantamiento de indicadores analizados por la Comisión Nacional de Productividad en su estudio Productividad en la Gran Minería Chilena , del año 2017 y lo realizado por COCHILCO desde el año 2018 en versiones anteriores de este informe. Adicionalmente, se busca actualizar el cálculo de la Productividad Total de Factores, como una estimación que ayude a complementar las conclusiones respecto al comportamiento de la Productividad en la industria. Se espera que el monitoreo periódico de los principales indicadores de productividad de las empresas mineras nacionales permita contar con la información necesaria para proponer iniciativas, tanto desde el ámbito público como privado, orientadas a promover la competitividad de la industria.

El documento está estructurado de la siguiente forma: en la segunda sección se presenta el análisis de la productividad parcial del trabajo, indicando la metodología utilizada para la medición de este indicador, la muestra examinada y los resultados obtenidos. De manera similar, en la tercera parte se presenta el análisis de la productividad parcial del

capital, indicando también metodología, muestra y resultados. La cuarta sección tiene la medición de la Productividad Total de Factores, explicando primero la metodología, muestra y posterior cálculo. Por último, la quinta sección contiene comentarios nacionales respecto del levantamiento realizado.



## 2 Productividad parcial del trabajo

### 2.1 Metodología

La productividad parcial del trabajo es una medida que relaciona la capacidad productiva de las operaciones con la fuerza laboral requerida. En este informe, se utilizó como medida de producción las toneladas anuales de material movido/procesado/apilado, según el área de análisis. No se utilizó la producción de cobre no para evitar distorsiones producto de factores geológicos tales como la ley del mineral y la razón estéril mineral, u otras variables, como la recuperación metalúrgica (Comisión Nacional de Productividad, 2017).

Respecto de la fuerza laboral, se consideró la dotación permanente del periodo, incluyendo así tanto a trabajadores propios como a terceros. De este modo, la medida de productividad laboral se calculó a nivel de área operativa (incluyendo áreas de apoyo<sup>2</sup> global, según se describe en las ecuaciones a continuación:

$$\text{Productividad laboral} \frac{\text{ktm}}{\text{trabajador}} = \frac{\text{ktm de material movido mina rajo}}{\text{dotación mina rajo (propios + terceros)}} \quad (1)$$

$$\text{Productividad laboral} \frac{\text{ktm}}{\text{trabajador}} = \frac{\text{ktm de mineral extraído mina subterránea}}{\text{dotación mina subterránea (propios + terceros)}} \quad (2)$$

$$\text{Productividad laboral} \frac{\text{ktm}}{\text{trabajador}} = \frac{\text{ktm de mineral procesado planta concentradora}}{\text{dotación planta concentradora (propios + terceros)}} \quad (3)$$

$$\text{Productividad laboral} \frac{\text{ktm}}{\text{trabajador}} = \frac{\text{ktm de mineral apilado planta hidrometalúrgica}}{\text{dotación planta hidrometalúrgica (propios + terceros)}} \quad (4)$$

$$\text{Productividad laboral} \frac{\text{ktm}}{\text{trabajador}} = \frac{\text{ktm de material movido mina (rajo y/o subterránea)}}{\text{dotación áreas de apoyo (propios + terceros)}} \quad (5)$$

---

<sup>1</sup>No fue posible utilizar una medida de horas-persona o FTE (Full-Time Equivalent), debido a que la completitud y calidad de la información proporcionada por las empresas en este ámbito no fue su ciente.

<sup>2</sup>Incluye áreas de administración y finanzas, recursos humanos, entre otras.

$$\text{Productividad laboral} \frac{\text{ktm}}{\text{trabajador}} = \frac{\text{ktm de material movido mina (rajo y/o subterránea)}}{\text{dotación global (propios + terceros)}} \quad (6)$$

## 2.2 Muestra

En conjunto, las empresas consultadas en la EMPAE 2021 consideradas constituyen el 99,4% de la producción nacional de cobre en el año 2020. De estas, la muestra seleccionada para esta sección, compuesta por aquellas compañías que aportaron datos válidos para el análisis, corresponde al 86,3% de la producción nacional, donde se incluyen 21 operaciones de la gran minería y 17 del sector de la mediana minería (ver Tabla 5 en Anexos).

Si bien la muestra total estuvo compuesta por 38 operaciones, para cada área se consideró una submuestra constituida por las faenas que efectivamente cuentan con dicha área y que al mismo tiempo entregaron datos válidos para el análisis. Por ejemplo, solo algunas operaciones trabajan con ambas líneas de beneficio planta concentradora y planta hidrometalúrgica; plantas de ENAMI no poseen procesos mina, etc.

## 2.3 Resultados

### 2.3.1 Mina rajo

La muestra seleccionada para el cálculo de indicadores de productividad parcial del trabajo en el área mina rajo consideró un total de 22 operaciones, 17 de éstas pertenecen a la gran minería y 5 a la mediana minería.

En primer lugar, es posible observar en la Figura 5 una alta heterogeneidad en la productividad laboral de las faenas al interior de la muestra. Mientras las minas más productivas alcanzan valores superiores a las 150 ktm de material movido por trabajador en el año 2020, las menos productivas registran valores entre 14 y 20 ktm por trabajador. Esto podría tener relación con la escala de las operaciones (ya que medianas mineras tienden a presentar menores productividades), equipos utilizados, entre otros.

Notar que existe una clara mayor heterogeneidad entre los valores que presentan las faenas pertenecientes a gran minería, con un rango entre 14 y 277 ktm por trabajador, pero mayoritariamente por sobre las 100 ktm, en contraste con las faenas pertenecientes a la mediana minería, que muestran un rango entre 3 y 85 ktm por trabajador.

La productividad laboral promedio de la muestra considerada para el área mina rajo el año 2020 fue de 100 ktm de material movido por trabajador. Hubo un aumento de un 25,0% respecto del año pasado, lo cual puede ser explicado explicado por dos factores:

producto de la pandemia, la dotación total de trabajadores sufrió una importante baja; sin embargo, las empresas fueron capaces de mantener niveles de producción similares a los planificados, haciendo uso de estrategias organizacionales, remotización del trabajo, entre otros.

Figura 5: Productividad laboral en mina rajo, año 2020.

Fuente: COCHILCO con base en EMPAE 2021.

### 2.3.2 Mina subterránea

En el caso de la mina subterránea, se utilizó una muestra compuesta por 13 faenas, mayoritariamente medianas mineras, siendo 10 de dicha categoría y solo 3 pertenecientes a la gran minería.

Según lo presentado en la Figura 6, en el año 2020 la productividad laboral promedio fue de 6 ktm de mineral extraído por trabajador, aunque con resultados considerablemente heterogéneos entre las minas analizadas, al igual que en el caso de mina rajo. Se hace evidente una tendencia de menor productividad en las medianas mineras, respecto de las faenas pertenecientes a la gran minería. Mientras estas últimas presentan productividades del orden de 13-19 ktm de mineral extraído por trabajador, las medianas mineras se mueven en el rango de 1-6 ktm por trabajador.

Cabe mencionar que las amplias diferencias en magnitud entre las productividades de las minas subterráneas y las minas rajo, son debido principalmente a los volúmenes de material involucrados. Según lo de nido en la sección 2.1, la productividad laboral en

la mina rajo se midió a partir del material movido total, es decir, la suma de mineral y lastre, mientras que en la mina subterránea, por la naturaleza del método, solo se considera el mineral extraído. Además, en términos generales y dada su selectividad, la minería subterránea tiende a ser menos masiva que la minería a cielo abierto.

Figura 6: Productividad laboral en mina subterránea, año 2020.

Fuente: COCHILCO con base en EMPAE 2021.

### 2.3.3 Planta concentradora

Para el análisis de la productividad laboral en el área de la planta concentradora, se consideró una muestra compuesta por 20 faenas, 10 de la gran minería y 10 del sector medianas.

La productividad laboral en la planta concentradora también presenta un amplio rango de valores, estando dentro de un amplio rango, según se observa en la Figura 7. En el año 2020, la muestra presentó una productividad promedio de 26 ktm de mineral procesado por trabajador, un 13,3% inferior a la presentada en el año 2019. Sin embargo, mientras las plantas más productivas procesan del orden de los 60 ktm de mineral por trabajador, las menos productivas presentan valores entre 2 y 6 ktm de mineral por trabajador. Pese a que se observa una relación entre la escala de las operaciones y sus productividades, en este caso algunas plantas de la mediana minería también presentan valores relativamente altos de productividad laboral. De este modo, se puede observar que existe una leve mayor heterogeneidad en los valores de este indicador entre las faenas de mediana minería, moviéndose en un rango entre 2 y 68 ktm de mineral por trabajador, que en las faenas de gran minería, que se mueve en un rango entre 7 y 63 ktm de mineral por

trabajador.

Figura 7: Productividad laboral en planta concentradora, año 2020.

Fuente: COCHILCO con base en EMPAE 2021.

#### 2.3.4 Planta hidrometalúrgica

La muestra seleccionada para el levantamiento de indicadores de productividad laboral en plantas hidrometalúrgicas consta de un total de 21 operaciones, 12 pertenecientes a la gran minería y 9 a la mediana minería.

Las plantas hidrometalúrgicas consideradas presentan una productividad laboral promedio de 44 ktm de mineral apilado por trabajador en el año 2020 (Figura 8), un 22,2% superior al promedio mostrado el año 2019. Tal como en el resto de las áreas analizadas, la muestra presenta una alta variabilidad, con valores máximos por sobre las 100 ktm de mineral apilado por trabajador y valores mínimos inferiores a 10 ktm de mineral por trabajador. También se observa que las faenas de mediana minería presentan en general los menores indicadores de productividad laboral, encontrándose en la parte inferior de la distribución dentro de la muestra analizada y con valores entre 3 y 38 ktm de mineral por trabajador. Así, excepto una, todas las faenas de mediana minería se encuentran bajo la media del indicador.

Figura 8: Productividad laboral en planta hidrometalúrgica, año 2020.

Fuente: COCHILCO con base en EMPAE 2021.

### 2.3.5 Áreas de apoyo

En el análisis de la productividad laboral en áreas de apoyo, la muestra considerada incluyó un total de 26 operaciones, 16 pertenecientes a la gran minería y 10 a la mediana minería.

Como se mencionó en la sección 2.1 y según lo establecido en la Ecuación 5, la productividad parcial del trabajo para las áreas de apoyo se calculó sobre la base del material total movido en el área mina.

Como se puede observar en la Figura 9, la productividad laboral al interior de la muestra presenta una alta dispersión y se mueve en un rango superior a los 400 ktm. La productividad promedio en el año 2020 fue de 133 ktm de material movido mina por trabajador en áreas de apoyo, superior a los 95 del año 2019. Sin embargo, mientras los valores máximos son valores superiores a las 300 ktm de material movido por trabajador en áreas de apoyo, los mínimos son inferiores a 21 ktm.

Se puede observar que las faenas de la mediana minería se concentran en la parte inferior de la muestra. De hecho, todas se encuentran bajo el promedio, dentro de un rango de 2 y 80 ktm de material movido mina por trabajador en áreas de apoyo. Sin embargo, algunas grandes mineras también comparten valores similares.

Figura 9: Productividad laboral en áreas de apoyo, año 2020.

Fuente: COCHILCO con base en EMPAE 2021.

### 2.3.6 Global

Finalmente, en la Figura 10 se presentan los indicadores de productividad parcial del trabajo global para la muestra seleccionada. En esta se consideran 19 faenas, donde 11 corresponden a la gran minería y 8 a la mediana minería.

La productividad laboral de la muestra, para el año 2020, fue de 25 ktm de material movido mina por trabajador, considerando la dotación permanente global de cada faena. El resultado promedio es prácticamente igual al del año 2019 (24 ktm de material movido mina por trabajador). La variabilidad de la muestra, en línea con lo observado anteriormente, es significativa, aunque más acotada que en ciertas áreas particulares (por ejemplo, en mina rajo y áreas de apoyo). Asimismo y como se podía prever según los resultados presentados en esta sección, las faenas de la mediana minería tienden a presentar productividades laborales considerablemente menores que las de la gran minería.

Figura 10: Productividad laboral global por operación, año 2020.

Fuente: COCHILCO con base en EMPAE 2021.

### 2.3.7 Resumen de resultados

Para el cálculo de indicadores de productividad parcial del trabajo se realizó un levantamiento a nivel de áreas operativas, áreas de apoyo y se incluyó también un indicador de productividad laboral global. Los cálculos se basaron en los tonelajes de material movido/procesado/apilado, según el área analizada. Por lo tanto, aunque en cada caso se midió la productividad laboral como tonelaje por trabajador, las unidades de producción utilizadas di eren según el área considerada (ver sección 2.1).

Los resultados obtenidos se resumen en la Figura 11, donde es posible observar los niveles de dispersión de los indicadores en cada área y a nivel global. De este modo, mina rajo y áreas de apoyo son las que presentan las mayores variabilidades al interior de las muestras consideradas en cada caso.

Finalmente, y tal como fue comentado para cada área, se observó una clara tendencia de las faenas de la mediana minería a presentar productividades laborales significativamente menores que las de la gran minería. Esto se explicaría por el grado de mecanización y automatización mayor en las operaciones de gran escala, y a que las faenas de mediana minería son, en términos generales, más intensivas en empleo en comparación con las grandes mineras.



Figura 11: Resumen de indicadores de productividad laboral, año 2020.

Fuente: COCHILCO con base en EMPAE 2021.

### 3 Productividad parcial del capital

#### 3.1 Metodología

La productividad parcial del capital mide la eficiencia en la utilización del capital físico representado por la maquinaria y los equipos de una operación. Así, se utilizan indicadores de disponibilidad de los equipos, medida como la porción del tiempo posible en la que el activo se encuentra disponible (Ecuación 7), y la utilización, medida como la porción del tiempo disponible en la que el activo es efectivamente utilizado (Ecuación 8). Para este análisis se consideraron ambos indicadores de uso del tiempo del capital para cada uno de los siete procesos: Carguío, transporte, chancado, molienda, área seca y área húmeda (Tabla 1). Para el ejercicio realizado en este informe, en el caso de las minas subterráneas se considera carguío y transporte como un solo proceso unitario. La Figura 12 detalla la distribución de las distintas unidades de tiempo utilizadas en el cálculo de ambos indicadores.

$$\text{Disponibilidad (\%)} = \frac{T_{\text{posible}} - T_{\text{mantenciones}}}{T_{\text{posible}}} \quad (7)$$

$$\text{Utilización (\%)} = \frac{T_{\text{disponible}} - T_{\text{detenciones}}}{T_{\text{disponible}}} \quad (8)$$

Figura 12: Distribución de unidades de tiempo para cálculo de indicadores de productividad.

Fuente: COCHILCO con base en Comisión Nacional de Productividad (2017).

El levantamiento de indicadores de productividad parcial del capital se realizó a nivel de procesos unitarios, según se indica en la Tabla 1.

Tabla 1: Áreas y procesos unitarios analizados.

Área	Proceso unitario
Mina	Carguío (CR)
	Transporte (TR)
	Chancado (CH)
Planta concentradora	Molienda (ML)
Planta hidrometalúrgica	Área seca (AS)
	Área húmeda (AH)

Fuente: COCHILCO.

## 3.2 Muestra

En conjunto, las empresas consultadas en la EMPAE 2021 constituyen el 99,9% de la producción nacional de cobre en el año 2020. De éstas, la muestra seleccionada para esta sección, compuesta por aquellas compañías que aportaron datos válidos para el análisis, corresponden al 90,6% de la producción nacional, donde se incluyen 26 operaciones de la gran minería y 18 de la mediana minería.

Si bien, la muestra total estuvo compuesta por 44 operaciones, para cada proceso se consideró una submuestra constituida por las faenas que efectivamente cuentan con dicho proceso (por ejemplo, solo algunas operaciones trabajan con ambas líneas de beneficio planta concentradora y planta hidrometalúrgica; plantas de ENAMI no poseen procesos mina, etc.), y que al mismo tiempo entregaron datos válidos para el análisis.

## 3.3 Resultados

### 3.3.1 Mina rajo - Carguío

La muestra seleccionada para el cálculo de indicadores de productividad en el proceso de carguío en el área de mina rajo consideró 29 operaciones en total, 24 grandes mineras y 5 medianas.

Como se puede observar en la Figura 13, en promedio los activos de carguío de las empresas catastradas presentaron una disponibilidad de 77,6% en el año 2020, levemente inferior al promedio del año 2019 (78,4%). Al igual que en el análisis del año 2019, destacan las medianas mineras con algunos de los más altos desempeños, sobre el 80%. La diferencia entre las operaciones con mejor y peor disponibilidad de sus activos es de 73,1 puntos porcentuales. Ahora bien, se puede observar que es una la faena con menor índice la que aumenta el rango, sin ésta, el rango se reduce a 24,5 puntos porcentuales. Si se consideran solo las operaciones de la gran minería, la diferencia es de 60,0 puntos porcentuales. Además, se observa un comportamiento relativamente homogéneo entre las faenas que corresponden a la mediana minería.

Respecto de la utilización de equipos o activos de carguío, en promedio las faenas consideradas en la muestra hacen uso de sus equipos un 61,6% del tiempo disponible, inferior a la media del año 2019 (66,4%). Existe una amplia brecha entre la operación con el mejor nivel de utilización de sus activos y la con el peor desempeño de 61,9 puntos porcentuales.

Figura 13: Indicadores de productividad del activo carguío en mina rajo, año 2020.

Fuente: COCHILCO con base en EMPAE 2021.

### 3.3.2 Mina rajo - Transporte

La muestra sobre la que fueron calculados los indicadores de productividad para el proceso de transporte en la mina rajo, incluyó 26 minas en total, 24 pertenecientes a la gran minería y 2 del sector de mediana minería.

La disponibilidad promedio de los activos de transporte en mina rajo alcanzó un valor de 82,9%, levemente inferior al promedio del año 2019 (84,1%). La faena con mejor índice de disponibilidad corresponde a una de las dos medianas mineras incluidas en la muestra, con un valor de 98,0%. La diferencia entre esta y la faena con peor desempeño (73,5%) es de 24 puntos porcentuales, y de 13,3 si solo se considera la gran minería, brechas bastante menores en comparación a lo visto en carguío (ver Figura 14).

En cuanto a la utilización, los valores alcanzados son significativamente superiores a los de los activos de carguío, ambos procesos estrechamente relacionados. En promedio, los equipos de transporte son utilizados un 74,4% del tiempo disponible, inferior a la media del año anterior (77,5%). La muestra no presenta una importante variabilidad, excepto en sus extremos. La brecha entre la operación más (91,5%) y menos productiva (50,5%) resulta ser de 41 puntos porcentuales.

Figura 14: Indicadores de productividad del activo transporte en mina rajo, año 2020.

Fuente: COCHILCO con base en EMPAE 2021.

### 3.3.3 Mina subterránea Carguío y transporte

Para el análisis de la productividad parcial del capital en los procesos de carguío y transporte en mina subterránea, se consideró una muestra de un total de 8 faenas, mayoritariamente operaciones medianas, siendo éstas 6, y solo 2 grandes mineras. Como se presenta en la Figura 15, los activos de carguío y transporte en la muestra presentaron una disponibilidad promedio de 76,1% en el año 2020, levemente inferior a la media del año 2019 (79,4%), con una variabilidad menor a la mostrada en los procesos anteriores. La faena con el mejor indicador de disponibilidad (92,0%) es 28,7 puntos porcentuales que aquella con el peor desempeño (63,3%).

En el caso del indicador de utilización, el promedio fue de 48,1%, inferior a la media del año anterior (55,3%) y significativamente inferior que el desempeño promedio de los activos tanto de carguío como de transporte en mina rajo. Este proceso también presenta un mayor rango entre los indicadores de las distintas faenas de la muestra, con una importante brecha entre la faena con el mejor indicador de utilización (88,0%) y aquella con el peor desempeño (21,0%), de 59 puntos porcentuales.

Figura 15: Indicadores de productividad del activo carguío y transporte en mina subterránea, año 2020.

Fuente: COCHILCO con base en EMPAE 2021.

#### 3.3.4 Mina - Chancado

En la muestra seleccionada para el análisis de la productividad parcial del capital en el proceso de chancado se consideraron 26 minas tanto a rajo abierto como subterráneas, 21 pertenecientes a la gran minería y 5 al sector de la mediana minería.

Como se observa en la Figura 16, las operaciones en la muestra presentaron un comportamiento relativamente uniforme respecto de la disponibilidad de sus activos de chancado, con una baja variabilidad y un valor promedio de 87,5%, prácticamente mismo promedio del año 2019. Sin embargo, el indicador de utilización presentó una mayor dispersión alrededor de su promedio de 71,5% (similar al del año 2019, 70,8%), con una brecha de más de 66 puntos porcentuales entre la faena con mayor (90,9%) y menor (24,2%) utilización. Ahora bien, se puede observar que son las dos faenas con menor índice las que aumentan principalmente el rango, sin éstas, el rango se reduce a 35,6 puntos porcentuales.

Figura 16: Indicadores de productividad del activo chancado, año 2020.

Fuente: COCHILCO con base en EMPAE 2021.

### 3.3.5 Planta concentradora Molienda

Para el análisis del proceso de molienda en la planta concentradora, se consideró una muestra de 26 faenas, 15 grandes mineras y 11 medianas. Molienda presenta un alto nivel de disponibilidad, alcanzando un valor promedio de 92,0% del tiempo posible, prácticamente misma media del año 2019 (Figura 17). Asimismo, la muestra presenta una baja variabilidad, excepto por algunas de las plantas con peor desempeño pertenecientes a operaciones de mediana minería.

De manera similar, la utilización promedio de la muestra fue de 90,4%, misma media del año anterior y, al igual que en el indicador de disponibilidad, no presenta gran variabilidad, excepto por la faenas menos productivas. La brecha entre la planta con mejor utilización (cerca a 100,0%) y la con el menor nivel (44,0%) es de 56 puntos porcentuales. Considerando exclusivamente las grandes mineras, la brecha se reduce solo a 11,9 puntos porcentuales.

Figura 17: Indicadores de productividad del activo molienda en planta concentradora, año 2020.

Fuente: COCHILCO con base en EMPAE 2021.

### 3.3.6 Planta hidrometalúrgica Área seca

Como se indicó en la sección 3.1, en el caso de la planta hidrometalúrgica se consideraron dos procesos unitarios para el análisis: área seca, que incluye las etapas de chancado secundario y terciario, aglomeración, apilamiento y lixiviación; y área húmeda, correspondiente a los procesos de extracción por solvente (SX) y electrowinning (EW).

La muestra seleccionada para el proceso de área seca estuvo compuesta por 23 plantas, 12 de la categoría gran minería y 11 de mediana minería. La disponibilidad promedio de los activos en la muestra fue de 83,0%, 4,2 puntos porcentuales superior a la media del año anterior (78,8%). Se observa una variabilidad significativa, como se observa en la Figura 18: hay 42,8 puntos porcentuales de diferencia entre la planta con el indicador más alto de disponibilidad (95,3%) con aquella que tiene el peor desempeño (52,5%).

Respecto de la utilización de los activos en el área seca, el valor promedio de la muestra fue de 71,1%, superior a la media del año 2019 de 67,6%, y mostrando una mayor heterogeneidad en comparación con los indicadores de disponibilidad: el rango del indicador es de 82,2 puntos porcentuales.



Figura 18: Indicadores de productividad del área seca en planta hidrometalúrgica, año 2020.

Fuente: COCHILCO con base en EMPAE 2021.

### 3.3.7 Planta hidrometalúrgica Área húmeda

Finalmente, el análisis de la productividad parcial del capital en el área húmeda consideró una muestra de 22 plantas hidrometalúrgicas, 12 de estas corresponden a la gran minería y 10 a mediana minería.

Según se observa en la Figura 19, los activos de área húmeda presentan altos niveles de disponibilidad, alcanzando un valor promedio de 92,0%, levemente superior al año anterior (90,8%). La variabilidad en la muestra es acotada, excepto por la planta con peor desempeño (52,0%). Así la diferencia entre ésta y la planta con mejor disponibilidad de sus activos en el año 2020 fue de 47,9 puntos porcentuales. Sin embargo, si solo se consideran faenas de la gran minería, dicha brecha es solo 11,4 puntos porcentuales.

Como se observa en la misma Figura 19, el indicador de utilización presenta una mayor heterogeneidad que el de disponibilidad. Si bien la utilización promedio fue de 81,9% (similar al año 2019, 79,2%), la diferencia entre la planta más (99,5%) y menos productiva (40,2%), en cuanto a utilización se refiere, es de 59 puntos porcentuales.

Figura 19: Indicadores de productividad del área húmeda en planta hidrometalúrgica, año 2020.

Fuente: COCHILCO con base en EMPAE 2021.

### 3.3.8 Resumen de resultados

En las Figuras 20 y 21 se presentan los indicadores de disponibilidad y utilización, levantados para el año 2020, donde se pueden resumir las tendencias observadas en las secciones anteriores.

En primer lugar, tanto en el caso de la disponibilidad de los activos como en su utilización, los procesos de molienda en la planta concentradora y el área húmeda en la planta hidrometalúrgica presentan las productividades promedio más elevadas de los procesos analizados (aunque con una mayor heterogeneidad en el caso del área húmeda). Estos resultados tienen relación con la naturaleza de estos procesos, los cuales son continuos y dado que detenerlos es crítico para todo el proceso productivo de la operación, cada detención se suele realizar con una debida planificación, lo que a su vez permite optimizar el mantenimiento, minimizando detenciones forzadas y maximizando el uso eficiente de estos activos. A lo anterior se suma que estos procesos no tienen una gran cantidad de variables externas que los puedan afectar y forzar una detención, a diferencia de procesos como transporte, por ejemplo.

Respecto de los procesos unitarios con menor productividad parcial de capital, en el caso de la disponibilidad (Figura 20) se observa que éstos serían carguío en mina rajo (1) y carguío y transporte en mina subterránea (3). En utilización son los mismos procesos los que muestran los peores desempeños, seguidos por transporte en mina rajo (2), área seca en la planta hidrometalúrgica (6) y el proceso de chancado (4), con una mediana similar

entre estos tres. Estos procesos, a diferencia de lo mencionado respecto de Molienda y Área húmeda, cuentan con un funcionamiento discontinuo y además su funcionamiento depende de más variables externas, y por lo tanto, existe mayor cantidad de posibles interferencias. Esto explicaría parte de las detenciones y el mayor requerimiento de mantenimiento, lo cual tiene un impacto negativo en el uso eficiente de estos activos. Finalmente, es posible observar que en términos generales los indicadores de utilización presentan una mayor dispersión (Figura 21), mayores diferencias entre faenas, y adicionalmente, valores promedio menores que los de disponibilidad, para cada proceso analizado.

Figura 20: Resumen de indicadores de disponibilidad, año 2020.

Fuente: COCHILCO con base en EMPAE 2021.

Figura 21: Resumen de indicadores de utilización, año 2020.

Fuente: COCHILCO con base en EMPAE 2021.

## 4 Productividad total de factores

Una de las metodologías más utilizadas en la literatura para la estimación de la productividad corresponde al residuo de Solow, el cual explica toda aquella parte del crecimiento de la producción que no se debió al aumento de los factores considerados, como capital y trabajo (Solow, 1957; de Solminihac et al., 2020, 2014; Comin, 2010).

Esta metodología, la Productividad Total de Factores (PTF), asume que el cambio tecnológico es exógeno, es decir, no provoca cambios en la distribución de la relación entre los factores de producción, manteniendo así la tasa marginal de sustitución constante (Solow, 1957; de Solminihac et al., 2014), afectándolos en igual proporción. De este modo, la función de producción sería de la siguiente forma:

$$Y = A f(K;L) \quad (9)$$

Donde A, representa a la PTF, la cual mide el efecto acumulado de los cambios a lo largo del tiempo. La manera de obtener este valor es mediante la diferencia entre la producción real de una faena en particular, en un periodo determinado, y una producción predicha a partir de sus factores productivos. Se asume que existen rendimientos constantes a escala y que los factores son remunerados en función al producto marginal.

Para el caso particular de minería, dado que es una actividad económica primaria basada en la extracción de recursos naturales, es necesario incorporar adicionalmente en la función de producción otros factores que podrían contribuir a la calidad del recurso natural, es decir, factores geológicos, tal como se realiza en Lasserre & Ouellette (1988). De no incorporarse, el residuo de Solow también se vería afectado por el agotamiento continuo de un recurso no renovable (Rodríguez & Arias, 2008).

La tasa de variación de la PTF corresponde a la diferencia entre la tasa de crecimiento de producción real y una tasa de crecimiento estimada por sus factores productivos. En este sentido, la PTF es una medida desconocida, la cual puede ser interpretada de múltiples maneras, como por ejemplo, la variación de la producción debido a cambios tecnológicos, cambios culturales dentro de la organización, cambios en la gestión de la firma, distintas calidades de los insumos, entre otros. El cálculo del logaritmo de PTF se muestra en la ecuación:

$$\ln \frac{A}{a} = \ln \frac{Q}{q} - \ln \frac{A\hat{Y}}{y} \quad (10)$$

Donde "A" corresponde a la Productividad Total de Factores o PTF, entendida como la variación en la producción que no es explicado por el aumento o disminución de los

factores productivos. "Q" es la producción real anual de una industria y/o firma.  $\hat{Y}$  es la producción predicha en función de sus factores productivos.

## 4.1 Metodología

La estimación se realizó asumiendo que la forma funcional de la función de producción puede ser definida como una función del tipo Cobb-Douglas con rendimientos constantes a escala (de Solminihac et al., 2014; Van Beveren, 2012).

Tal como se mencionó en la sección anterior, al ser la minería una industria extractiva, es necesario considerar el recurso geológico como factor productivo, ya que de no ser considerado este efecto estaría sesgando la PTF.

De este modo, las variables consideradas como factores de producción en este ejercicio fueron las siguientes: dotación de trabajadores (L), que incluye tanto trabajadores propios como subcontratados; stock de capital físico (K), está en precios reales y rezagado un periodo (considerando el desfase entre el momento de la inversión en activos y la materialización de su impacto en la producción); consumo total de energía (E) como medida de la intensidad de uso del capital físico, incluyendo consumo de electricidad y combustibles; como proxy del factor geológico se consideró la ley del mineral, que corresponde a una aproximación de la calidad de éste (Lasserre & Ouellette, 1988); razón estéril mineral (REM) que es una aproximación del esfuerzo relativo a su extracción (COCHILCO, 2014), el mineral procesado (M) como insumo para la producción; la recuperación metalúrgica (R) como medida de la eficiencia global del procesamiento del mineral. Así, la ecuación de producción quedaría representada de la siguiente forma:

$$Q_{it} = PTF_{it} L_{it}^L K_{it}^K E_{it}^E REM_{it}^{REM} Ley_{it}^{Ley} M_{it}^M R_{it}^R \quad (11)$$

Por lo tanto, se debe estimar la función de producción como fue mencionado en el capítulo anterior. Linealizando la ecuación 11 se obtiene la ecuación 12, que es finalmente estimada. De esta forma, la producción (Q) de una faena i en el año t estaría dada por:

$$\begin{aligned} \ln(Q_{it}) = & PTF_{it} + \quad L \ln(L_{it}) + \quad K \ln(K_{it}) + \quad REM \ln(REM_{it}) + \\ & Ley \ln(Ley_{it}) + \quad M \ln(M_{it}) + \quad R \ln(R_{it}) + \quad it \end{aligned} \quad (12)$$

Se incluye el consumo energético (electricidad y combustible) como una medida para cor-

regir la intensidad de uso del capital, considerando que también puede ser utilizado como un proxy del nivel efectivo del capital físico utilizado.

De esta forma y siguiendo la metodología utilizada por la Comisión Nacional de Productividad (2017), se corrige el stock de capital físico con el consumo energético para obtener una medida más cercana al capital efectivamente utilizado en el periodo. Además, se considera el rezago de la variable pues el periodo donde se contabiliza la inversión en capital usualmente no coincide con su uso. Así, el capital físico está dado por:

$$\hat{K}_{it} = \exp(\ln(E_{it}) - \ln(E_{it})^T) K_{it-1} \quad (13)$$

Donde, la primera expresión en el lado derecho corresponde a las desviaciones del logaritmo del consumo energético  $\ln(E_{it})$  (el que incluye tanto electricidad como combustible) respecto de su tendencia  $\ln(E_{it})^T$ . Para el cálculo de la tendencia del consumo energético se utiliza un filtro Hodrick-Prescott durante el periodo en estudio.

Por último, la variable dependiente utilizada es la producción de cobre en Chile. Ésta fue utilizada mediante dos variables; por un lado medido como cobre equivalente, lo que incluye así la producción equivalente en cobre a partir de subproductos tales como molibdeno, oro y plata, y por otro, medido como producción de cobre fino.

## 4.2 Muestra

Según las definiciones establecidas en la sección 4.1, para la estimación de la función de producción de cobre se utilizaron como factores productivos las siguientes variables: capital (medido como stock de maquinarias y plantas), trabajo (dotación de personal), consumo total de energía (eléctrica y combustible) y la calidad del recurso geológico. El recurso geológico es modelado utilizando la ley del mineral, que corresponde a una aproximación de la calidad del mismo, la razón estéril mineral que es una aproximación del esfuerzo relativo a su extracción y la recuperación metalúrgica global de la faena. Para el caso del capital físico, el valor nominal fue deflactado, de este modo está en moneda 2020. La definición de las variables y su fuente se muestra en la Tabla 2.

Para este ejercicio, se utilizaron datos históricos de 30 faenas con cobre como producto principal de la gran y mediana minería, entre los años 2004 y 2020. En total, la muestra considerada representó el 96,8% de la producción de cobre en Chile el año 2020. La Tabla 3 muestra la estadística descriptiva de las variables consideradas en el modelo de Productividad Total de Factores, con el fin de presentar el comportamiento de los factores productivos.

**Tabla 2:** Variables consideradas en el análisis.

Variable	Descripción variable	Fuente
Producción (Q)	Cantidad de cobre fino equivalente contenido (Ktmf)	COCHILCO
Dotación de personal (L)	Cantidad de trabajadores, propios y terceros, permanentes dentro de las faenas mineras (# personas)	SERNAGEOMIN
Capital físico (K)	Stock de capital físico acumulado en propiedades, plantas y equipos (US\$ miles moneda 2020)	EEFF.
Consumo de energía (E)	Energía total consumida, incluye combustible y electricidad (MJ)	COCHILCO
Razón estéril mineral (REM)	Es una medida relativa entendida como el esfuerzo a aplicar para la extracción	COCHILCO
Ley de cobre en mineral (Ley)	Ley promedio del mineral enviado a planta (%)	COCHILCO
Mineral procesado (M)	Mineral procesado como insumo para la producción (Ktm)	COCHILCO
Recuperación metalúrgica (R)	Recuperación metalúrgica global de la faena (%)	COCHILCO

Fuente: COCHILCO.

**Tabla 3:** Estadística descriptiva de operaciones de la muestra en el periodo 2004-2020.

Variable	Unidad	Promedio	Mínimo	Máximo	SD	Mediana
Cobre eq	Ktmf	251,87	6,89	1.516,90	279,30	148,79
Capital real	US\$ m	1.837.588	-	13.904.068	2.194.293	968.560
Trabajo	# pers	5.296,98	350,08	27.740,00	4.654,80	3.552,54
Energía	MJ	5.775.912M	467.968M	31.089.527M	5.188.729M	4.029.725M
Ley	%	0,75	0,01	1,97	0,31	0,72
REM	Un.	2,24	0,00	23,59	2,60	1,64
REC	%	75,7	0,8	95,3	15,1	79,9

Fuente: COCHILCO.

Se espera que las variables stock de capital físico, dotación de personal, consumo de energía, ley de cobre y recuperación metalúrgica global, tengan un signo positivo debido a que inciden positivamente en la producción. Por otro lado, la variable razón estéril mineral, dado que es una variable relativa al esfuerzo de extracción que se da en el método de extracción a rajo abierto, se espera tenga signo negativo.



### 4.3 Resultados

Para el cálculo de la PTF agregada de la muestra seleccionada, se utilizaron distintas especificaciones, utilizando como variable a explicar la producción medida tanto como cobre equivalente, como cobre fino. Como se puede observar en la Tabla 4, no se encuentran mayores diferencias entre los modelos con ambas variables de producción de cobre como variable dependiente. Es posible apreciar que no hay mayor variación en las magnitudes de los coeficientes al comparar las distintas especificaciones (sin stock de capital, con stock de capital rezagado y con stock de capital corregido con energía), lo cual da mayor robustez a los resultados. Es posible ver que los signos que acompañan a los coeficientes son los esperados intuitivamente, con excepción de la variable recuperación metalúrgica, la cual tiene signo negativo pero no es significativa, siendo así su coeficiente cercano a 0.

**Tabla 4:** Resultados estimación de coeficientes para cálculo de PTF.

	<i>Variable Dependiente:</i>					
	Log(Cobre equivalente)			Log(Cobre fino)		
	(1)	(2)	(3)	(4)	(5)	(6)
log(L)	-0.209** (0.100)	-0.158* (0.094)	-0.171* (0.095)	-0.181** (0.091)	-0.137 (0.089)	-0.147* (0.088)
log( $K_{t-1}$ )		-0.106* (0.063)			-0.088 (0.060)	
log( $\hat{K}_{t-1}$ )			-0.106* (0.057)			-0.091* (0.054)
log(E)	0.579*** (0.151)	0.597*** (0.173)	0.642*** (0.169)	0.584*** (0.150)	0.597*** (0.170)	0.637*** (0.166)
log(REM)	-0.061*** (0.015)	-0.062*** (0.016)	-0.060*** (0.016)	-0.059*** (0.015)	-0.059*** (0.014)	-0.058*** (0.015)
log(M)	0.232* (0.123)	0.248* (0.131)	0.249* (0.131)	0.217* (0.117)	0.233* (0.125)	0.234* (0.124)
log(Ley)	0.246** (0.111)	0.213** (0.107)	0.219** (0.109)	0.250** (0.109)	0.224** (0.105)	0.227** (0.107)
log(R)	-0.062 (0.146)	-0.044 (0.134)	-0.043 (0.135)	-0.079 (0.144)	-0.065 (0.134)	-0.063 (0.134)
Observations	352	344	342	352	344	342
R <sup>2</sup>	0.443	0.450	0.450	0.454	0.457	0.459
Adjusted R <sup>2</sup>	0.381	0.385	0.387	0.394	0.394	0.397
F Statistic	41.908***	35.811***	35.797***	43.811***	36.940***	37.017***
DF	(6; 316)	(7; 307)	(7; 306)	(6; 316)	(7; 307)	(7; 306)

Note:

\*p<0.1; \*\*p<0.05; \*\*\*p<0.01

Fuente: COCHILCO.



Los resultados para el periodo de análisis se muestran en la Figura 22. Es importante recalcar que el rango mostrado en la figura no corresponde a un intervalo de confianza, si no que al espacio de variación de los resultados obtenidos a través de las distintas especificaciones.

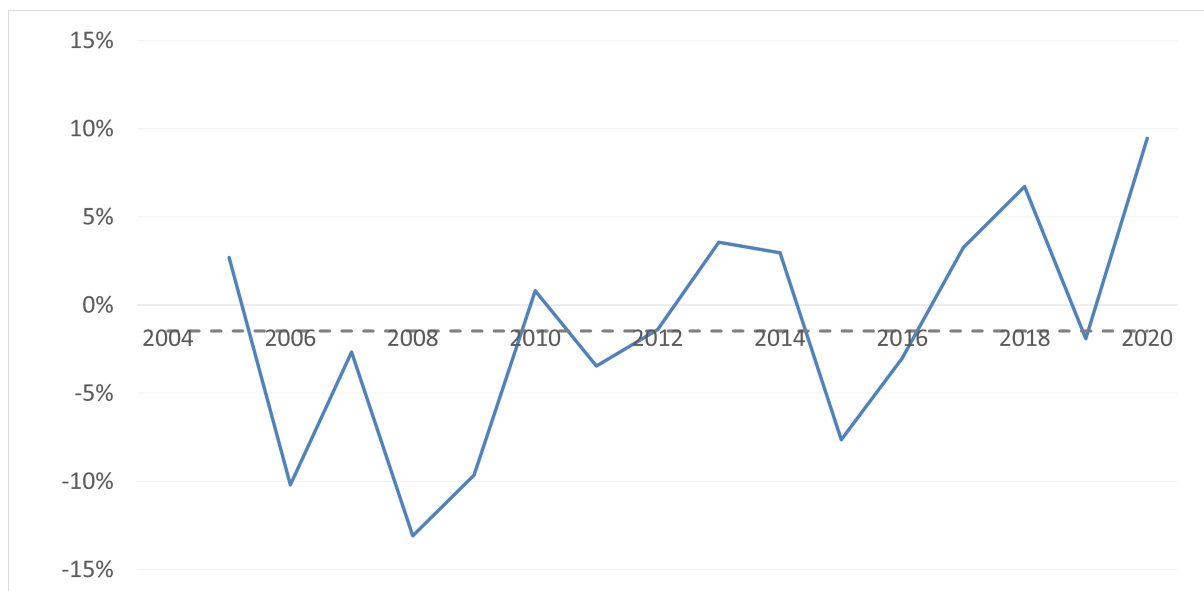
Los resultados obtenidos dan cuenta de una importante caída de la productividad de la industria minera nacional, mostrando una baja acumulada de aproximadamente 20 puntos porcentuales entre el año 2004 y 2020, es decir, una disminución anual promedio de 1,7% en la PTF, donde se pueden observar principalmente tres periodos. El primero, corresponde al periodo 2004-2009, donde visualmente se aprecia una fuerte caída en la productividad, experimentando una tasa de decrecimiento de -6,8%. El segundo periodo comprende entre el año 2009 y 2016, donde si bien se puede observar una tendencia negativa, ésta se mantiene relativamente estable, mostrando una tasa promedio de -1,2%. Por último, el periodo entre 2016 y 2020 se exhibe una tendencia al alza, con una tasa de crecimiento promedio de 4,3%. Este aumento moderado a partir del año 2016, podría estar relacionado con los esfuerzos realizados por las distintas compañías mineras por mejorar la eficiencia de sus procesos y contener sus costos, tras el término del súper ciclo. Así, hacia el fin del periodo de análisis la productividad alcanza valores cercanos al 80% de la PTF en el año 2004.

En la Figura 23, se presenta comportamiento de la tasa de crecimiento de la PTF. En el gráfico, se puede notar un periodo de tasas principalmente negativas, para pasar a un periodo con tasas estables y cercanas a cero. Por último, en los 4 años más recientes se observan en general tasas de crecimiento positivas.

**Figura 22:** Evolución de la PTF en la muestra seleccionada, periodo 2004-2020.

Fuente: COCHILCO con base en EMPAE 2021.

**Figura 23:** Evolución de la tasa de crecimiento de la PTF en la muestra seleccionada, periodo 2004-2020.



Fuente: COCHILCO con base en EMPAE 2021.

## 5 Comentarios finales

La muestra global considerada en este informe corresponde al 99,4% de la producción nacional de cobre en el año 2020. Desde el inicio de esta línea de trabajo, en el año 2018, desarrollada por COCHILCO para el monitoreo periódico de indicadores de productividad, se ha realizado un esfuerzo por mejorar la comunicación con las empresas mineras y unificar las definiciones sobre los antecedentes solicitados.

Respecto de los indicadores de productividad parcial del trabajo, dos puntos resultan relevantes:

- En cada área analizada se observó una dispersión significativa de la productividad laboral. Existencia de amplias brechas entre valores máximos y mínimos.
- Las faenas de la mediana minería presentan en general productividades laborales muy por debajo de los indicadores de la gran minería.
- En el global, la productividad laboral promedio prácticamente se mantuvo respecto del año 2019, mostrando una fuerte alza en mina rajo pero con una caída en planta concentradora.

Se espera en el futuro incorporar mejoras a este indicador, por ejemplo, reemplazando las dotaciones por una medida de horas-persona o FTE. Sin embargo, para lograrlo se debe avanzar en la comunicación con las empresas mineras que participan en esta encuesta, de manera de obtener los datos adecuados para realizar dichas modificaciones. Los antecedentes recopilados hasta el momento en relación con las horas trabajadas no han sido lo suficientemente precisos para ser incorporados en el análisis.

Por otro lado, de los resultados obtenidos en términos de la productividad parcial del capital se puede indicar lo siguiente:

- Los procesos unitarios de molienda (planta concentradora) y área húmeda (planta hidrometalúrgica) presentan los mayores indicadores de disponibilidad y utilización promedio, en línea con el funcionamiento continuo de estos procesos.
- Carguío (mina rajo) y carguío y transporte (mina subterránea) presentan los menores niveles promedio tanto de disponibilidad como de utilización.
- En términos generales, los indicadores de utilización presentan una mayor dispersión, y adicionalmente, valores promedio menores que los de disponibilidad, para cada proceso analizado.

- No se observan tendencias claras relacionadas con la escala de las operaciones (gran minería vs mediana minería).
- A pesar de la desmovilización que existió el año 2020 producto de la pandemia, las operaciones mineras consideradas en la muestra demostraron una buena capacidad de respuesta, manteniendo niveles similares de productividad en sus activos, respecto del año 2019.

Por otro lado, respecto a los resultados del cálculo de la Productividad Total de Factores de la industria minera del cobre, resultan relevantes dos puntos:

- Durante el periodo analizado se observa una caída cercana a los 20 puntos porcentuales en la productividad de la industria.
- Desde el año 2009 a la fecha, se ha mantenido relativamente estable la productividad (medido a través de la PTF). En los últimos 4 años, 2016-2020, se muestra una tendencia al alza con una tasa promedio de 4,3%, en especial el último año en que hubo un alza de 9,5%.

Aún existe mucho espacio para mejorar la productividad del sector y recuperar los niveles perdidos tras el último superciclo. Es importante entonces mantener un permanente monitoreo de los principales indicadores de productividad (junto con una actualización periódica de la PTF) e implementar las acciones necesarias para mantener la competitividad de la industria.

Finalmente, dado que este informe se construye con base en datos reportados por las empresas, y considerando las complicaciones que esto puede traer (distintas interpretaciones entre compañías, errores en unidades o de otro tipo, etc.), en el futuro sería razonable evaluar la posibilidad de reforzar el levantamiento de la información a través de visitas a terreno y/o reuniones con algunas de las empresas catastradas. Esto, además de garantizar la calidad de los datos recopilados, podría entregar mayores antecedentes respecto de las causas tras las brechas observadas entre las distintas operaciones y los bajos niveles de productividad en ciertos sectores, y así desarrollar estudios y propuestas de políticas orientadas a mitigar dichas causas.

## 6 Anexos

**Tabla 5:** Muestra considerada en indicadores de productividad parcial del trabajo, año 2020.

Categoría	Empresa	Operación	Región
Gran minería	BHP Pampa Norte	Cerro Colorado	I Tarapacá
Gran minería	Minera Escondida Ltda.	Escondida	II Antofagasta
Mediana minería	Cía. Minera San Geronimo	Talcuna	IV Coquimbo
Gran minería	BHP Pampa Norte	Spence	II Antofagasta
Mediana minería	ENAMI	Planta Vallenar	III Atacama
Mediana minería	Cía. Minera La Patagua	La Patagua	V Valparaíso
Gran minería	Antofagasta Minerals	Antucoya	II Antofagasta
Gran minería	Antofagasta minerals	Centinela	II Antofagasta
Gran minería	Antofagasta Minerals	Los Pelambres	IV Coquimbo
Gran minería	Cía Minera Zaldivar SPA	Zaldivar	II Antofagasta
Gran minería	Anglo American	El Soldado	V Valparaíso
Mediana minería	S. Contractual At. Kozan Ltda.	Atacama Kozan	III Atacama
Gran minería	SCM Minera Lumina Copper	Caserones	III Atacama
Gran minería	Codelco	Andina	V Valparaíso
Gran minería	Codelco	El Salvador	III Atacama
Gran minería	Codelco	El Teniente	VI O'Higgins
Gran minería	Codelco	Gabriela Mistral	II Antofagasta
Gran minería	Codelco	Ministro Hales	II Antofagasta
Gran minería	Codelco	Radomiro Tomic	II Antofagasta
Gran minería	Cía. Minera Doña Ines de C.	Collahuasi	I Tarapacá
Mediana minería	ENAMI	Planta Delta	IV Coquimbo
Mediana minería	ENAMI	P. Osvaldo Martínez Carvajal	III Atacama
Mediana minería	ENAMI	P. Manuel Antonio Matta	III Atacama
Gran minería	Glencore Chile	Lomas Bayas	II Antofagasta
Mediana minería	SCM Carola	Mina Carola	III Atacama
Mediana minería	Minera HMC S.A	Michilla	II Antofagasta
Mediana minería	KGHM	Franke	II Antofagasta
Mediana minería	Minera Las cenizas	Las Cenizas Taltal	II Antofagasta
Mediana minería	Grace SA	Mantos de la Luna	II Antofagasta
Gran minería	Mantos Copper SA	Mantos Blancos	II Antofagasta
Mediana minería	Pampa Camarones SPA	Salamanqueja	XV Arica y Parinacota
Mediana minería	Soc. Punta del Cobre S.A	Pucobre	III Atacama
Mediana minería	Cía. Explotadora Minera S.A.	San Andrés	III Atacama
Gran minería	Freeport McMoran	El Abra	II Antofagasta
Gran minería	Teck Resources Chile	Carmen de Andacollo	IV Coquimbo
Mediana minería	Minera Tres Valles SPA	Tres Valles	IV Coquimbo
Mediana minería	Minera Valle Central SA	Valle Central	VI O'Higgins
Gran minería	Anglo American Sur	Los Bronces	RM Metropolitana

**Tabla 6:** Muestra considerada en indicadores de productividad parcial del capital, año 2020.

<b>Categoría</b>	<b>Empresa</b>	<b>Operación</b>	<b>Región</b>
Gran minería	BHP Pampa Norte	Cerro Colorado	I Tarapacá
Gran minería	Minera Escondida Ltda.	Escondida	II Antofagasta
Mediana minería	Cía Minera San Geronimo	Talcuna	IV Coquimbo
Gran minería	BHP Pampa Norte	Spence	II Antofagasta
Mediana minería	ENAMI	Planta Vallenar	III Atacama
Mediana minería	Cía Minera La Patagua	La Patagua	V Valparaíso
Gran minería	Antofagasta Minerals	Antucoya	II Antofagasta
Gran minería	Antofagasta Minerals	Centinela	II Antofagasta
Gran minería	Antofagasta Minerals	Los Pelambres	IV Coquimbo
Gran minería	Cía Minera Zaldivar SPA	Zaldivar	II Antofagasta
Gran minería	Anglo American	El Soldado	V Valparaíso
Mediana minería	S. Contractual A. Kozan Ltda.	Atacama Kozan	III Atacama
Gran minería	SCM Minera Lumina Copper	Caserones	III Atacama
Mediana minería	Cía. Minera A.C. - CEMIN	Amalia Catemu	V Valparaíso
Gran minería	Codelco	Andina	V Valparaíso
Gran minería	Codelco	Chuquicamata	II Antofagasta
Gran minería	Codelco	El Teniente	VI O'Higgins
Gran minería	Codelco	Gabriela Mistral	II Antofagasta
Gran minería	Codelco	Ministro Hales	II Antofagasta
Gran minería	Codelco	Radomiro Tomic	II Antofagasta
Gran minería	Cía. Minera Doña Ines de C.	Collahuasi	I Tarapacá
Mediana minería	ENAMI	Planta Delta	IV Coquimbo
Mediana minería	ENAMI	P. Osvaldo Martínez Carvajal	III Atacama
Mediana minería	ENAMI	P. Manuel Antonio Matta	III Atacama
Gran minería	Glencore Chile	Lomas Bayas	II Antofagasta
Mediana minería	SCM Carola	Mina Carola	III Atacama
Mediana minería	Minera HMC S.A	Michilla	II Antofagasta
Mediana minería	KGHM	Franke	II Antofagasta
Gran minería	KGHM	Sierra Gorda	II Antofagasta
Mediana minería	Minera Las Cenizas	Las Cenizas Cabildo	V Valparaíso
Mediana minería	Minera Las Cenizas	Las Cenizas Taltal	II Antofagasta
Mediana minería	Grace SA	Mantos de la Luna	II Antofagasta
Gran minería	Mantos Copper SA	Mantos Blancos	II Antofagasta
Gran minería	Mantos Copper	Mantoverde	III Atacama
Mediana minería	Pampa Camarones SPA	Salamanqueja	XV Arica y Parinacota
Mediana minería	Soc. Punta del Cobre S.A	Pucobre	III Atacama
Gran minería	Freeport McMoran	El Abra	II Antofagasta
Gran minería	Teck Resources Chile	Carmen de Andacollo	IV Coquimbo
Gran minería	Teck Resources Chile	Quebrada Blanca	I Tarapacá
Mediana minería	Minera Tres Valles SPA	Tres Valles	IV Coquimbo
Mediana minería	Minera Valle Central SA	Valle Central	VI O'Higgins
Gran minería	Lundin Mining	Candelaria	III Atacama
Gran minería	Lundin Mining	Ojos del Salado	III Atacama
Gran minería	Anglo American Sur	Los Bronces	RM Metropolitana

## 7 Referencias

- COCHILCO (2014). Productividad en la industria minera en Chile.
- Comin, D. (2010). Total factor productivity. In Economic growth (pp. 260–263). Springer.
- Comisión Nacional de Productividad (2017). Productividad en la gran minería del cobre.
- de Solminihac, H., Badinella, C., Azúa, G., & Acuña, J. (2020). Productividad total de factores (ptf), productividad media laboral (pml) e índice de especialización local (iel) en la industria de la construcción de Chile.
- de Solminihac, H., Cerda, R., & Gonzales, L. (2014). Desarrollo y análisis de indicadores para el mejoramiento de la productividad en la minería en Chile.
- Lasserre, P. & Ouellette, P. (1988). On measuring and comparing total factor productivities in extractive and non-extractive sectors. Canadian Journal of Economics, (pp. 826–834).
- Rodríguez, X. A. & Arias, C. (2008). The effects of resource depletion on coal mining productivity. Energy Economics, 30(2), 397–408.
- Solow, R. M. (1957). Technical change and the aggregate production function. The review of Economics and Statistics, (pp. 312–320).
- Van Beveren, I. (2012). Total factor productivity estimation: A practical review. Journal of economic surveys, 26(1), 98–128.



Este trabajo fue elaborado en la  
Dirección de Estudios y Políticas Públicas por:

**Cintia Roa**

Analista de Mercado Minero

**Felipe Sánchez**

Analista Estrategias y Políticas Públicas

**Jorge Cantallopts Araya**

Director de Estudios y Políticas Públicas

Diciembre 2021

